

05;06.2;12

©1994

**ПРОФИЛИ РАДИОАКТИВНЫХ ИЗОТОПОВ,  
ОБРАЗОВАННЫХ В ХАЛЬКОПИРИТЕ CuInSe<sub>2</sub>  
ПРИ ОБЛУЧЕНИИ ВЫСОКОЭНЕРГЕТИЧНЫМИ  
ПРОТОНАМИ, ДЕЙТОНАМИ  
И АЛЬФА-ЧАСТИЦАМИ**

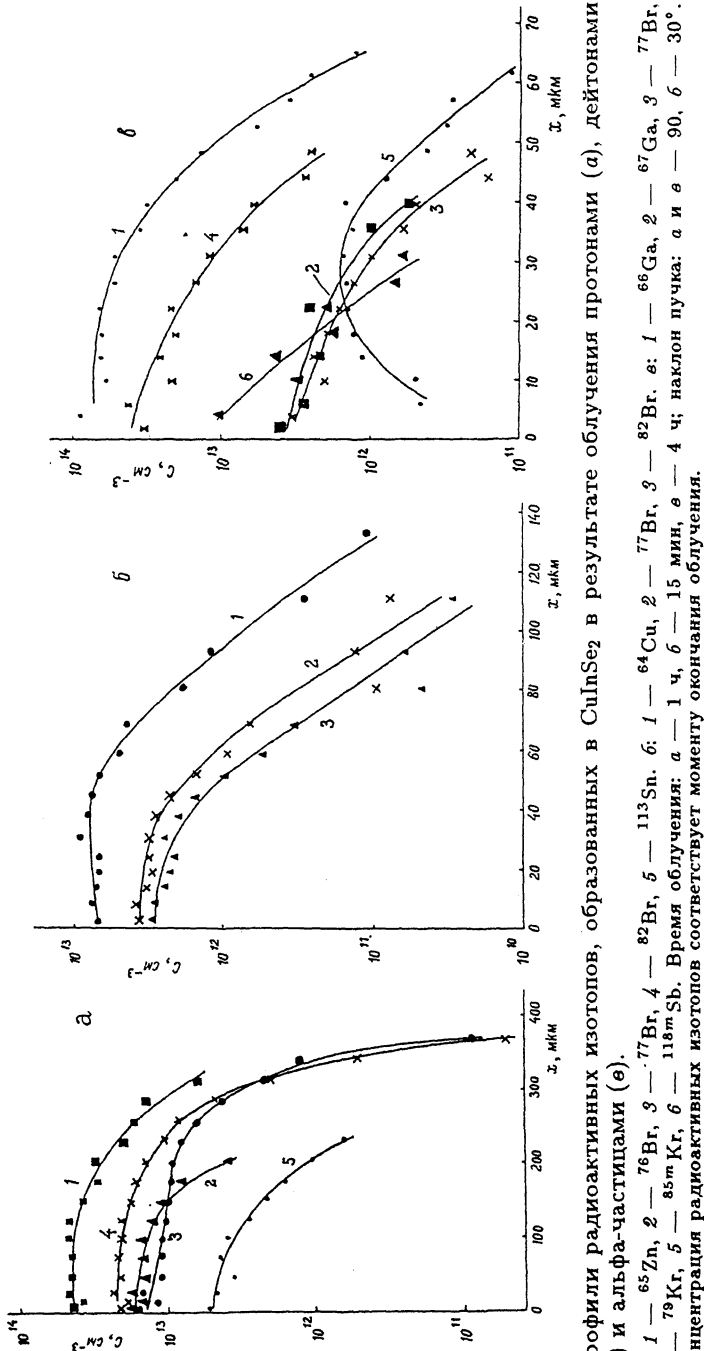
*В.А.Дидик, В.В.Козловский, Р.Ш.Малкович, Е.А.Скорятина*

1. Полупроводниковые структуры обычно создаются введением примесей в материал посредством диффузии, ионной имплантации, либо при эпитаксиальном выращивании. Д. Каэн и др. [1] обнаружили, что приложение локального электрического поля достаточной величины к однородному монокристаллу халькопирита CuInSe<sub>2</sub> при комнатной температуре также позволяет создавать полупроводниковые структуры. Они предположили, что одним из факторов, обуславливающих этот эффект, может быть электромиграция ионов, в первую очередь меди. Прямое наблюдение миграции ионов может быть осуществлено с помощью радиоактивных изотопов, в частности создаваемых в объеме материала в результате ядерных реакций при облучении высокогенергетическими заряженными частицами [2].

Облучение заряженными частицами предоставляет возможность формирования в объеме материала локальных примесных областей и последующего использования их в качестве источника диффузии примесей. В настоящей работе исследовано распределение целого ряда радиоактивных изотопов, образующихся в халькопирите CuInSe<sub>2</sub> при облучении высокогенеретическими протонами, дейтонами и альфа-частицами.

Изотопы образовывались по реакциям [3]:  $^{65}\text{Cu}(p, n)^{65}\text{Zn}$ ,  $^{76}\text{Se}(p, n)^{76}\text{Br}$ ,  $^{77}\text{Se}(p, n)^{77}\text{Br}$ ,  $^{82}\text{Se}(p, n)^{82}\text{Br}$ ,  $^{113}\text{In}(p, n)^{113}\text{Sn}$  — при облучении протонами,  $^{63}\text{Cu}(d, p)^{64}\text{Cu}$ ,  $^{76}\text{Se}(d, n)^{77}\text{Br}$ ,  $^{77}\text{Se}(d, 2n)^{77}\text{Br}$ ,  $^{82}\text{Se}(d, 2n)^{82}\text{Br}$  — при облучении дейтонами, и  $^{63}\text{Cu}(\alpha, n)^{66}\text{Ga}$ ,  $^{65}\text{Cu}(\alpha, 2n)^{67}\text{Ga}$ ,  $^{74}\text{Se}(\alpha, p)^{77}\text{Br}$ ,  $^{76}\text{Se}(\alpha, n)^{79}\text{Kr}$ ,  $^{77}\text{Se}(\alpha, 2n)^{79}\text{Kr}$ ,  $^{82}\text{Se}(\alpha, 2n)^{85m}\text{Kr}$ ,  $^{115}\text{In}(\alpha, n)^{118m}\text{Se}$  — при облучении альфа-частицами.

2. Облучение проводилось на малогабаритном циклотроне МГЦ-20. Использовались плоскопараллельные образцы CuInSe<sub>2</sub> с размерами  $\sim 4 \times 3 \times 1$  мм. Энергия протонов и дейтонов составляла величину 10 МэВ, а альфа-частиц — 16.8 МэВ. Поток частиц  $3 \cdot 10^{12} \text{ см}^{-2} \text{ с}^{-1}$ , время облучения



Профили радиоактивных изотопов, образованных в CuInSe<sub>2</sub> в результате облучения протонами (a), дейтонами (b) и альфа-частицами (θ).  
 а: 1 — <sup>65</sup>Zn, 2 — <sup>76</sup>Br, 3 — <sup>77</sup>Br, 4 — <sup>82</sup>Br, 5 — <sup>113</sup>Sb, 6: 1 — <sup>64</sup>Cu, 2 — <sup>82</sup>Br, 3 — <sup>67</sup>Ga, 4 — <sup>77</sup>Br, 5 — <sup>118m</sup>Sb, 6 — <sup>85m</sup>Kr.  
 б: время облучения: а — 1 ч, б — 15 мин, в — 4 ч; наклон пучка: а и в — 90°, б — 30°.

0.25–4 ч. После облучения с образцов сошлифовывались плоскопараллельные слои, толщиной от 2 до 10 мкм, которые подвергались радиометрическому анализу с использованием калиброванного гамма-спектрометра с Ge(Li) детектором.

3. Как видно из рисунка, концентрация радиоактивных изотопов достигает значений  $3 \cdot 10^{12} - 10^{14}$  см<sup>-3</sup>. Глубина профиля составляет величину  $\sim 60$  мкм при облучении альфа-частицами и 200–300 мкм при облучении протонами. Большая глубина профиля при протонном облучении связана с большей глубиной проникновения протонов по сравнению с дейтонами и альфа-частицами. На профиле <sup>85m</sup>Kr наблюдается максимум, который обусловлен немонотонным характером энергетической зависимости сечения ядерной реакции, приводящей к образованию этого изотопа [4].

Мы выполнили также опыты по влиянию термообработки на профили изотопов <sup>65</sup>Zn, <sup>77</sup>Br и <sup>82</sup>Br, созданных облучением протонами. С этой целью облученные образцы подвергались отжигу при 370°C на воздухе в течение 28 ч. Сравнение профилей в отожженных и контрольных образцах не обнаружило при этом каких-либо различий, выходящих за пределы погрешностей эксперимента.

Авторы выражают искреннюю признательность Л.Черняку за предоставление образцов.

#### Список литературы

- [1] Cahen D., Gilet J.-M., Schmitz C., Chernyak L., Gartsman K., Jakubowicz A. // Science. 1992. V. 258. P. 271.
- [2] Дидик В.А., Козловский В.В., Малкович Р.Ш., Скорятина Е.А., Шустров Б.А. // Письма в ЖТФ. 1989. Т. 15. В. 12. С. 19.
- [3] Marles C., Goth G.W., Cerny J. // Nuclear Data. 1967. V. A2. P. 429.
- [4] Дидик В.А., Козловский В.В., Малкович Р.Ш., Скорятина Е.А. // ФТП. 1983. Т. 27. В. 2. С. 343.

Физико-технический  
институт им. А.Ф.Иоффе  
Санкт-Петербург

Поступило в Редакцию  
27 мая 1994 г.